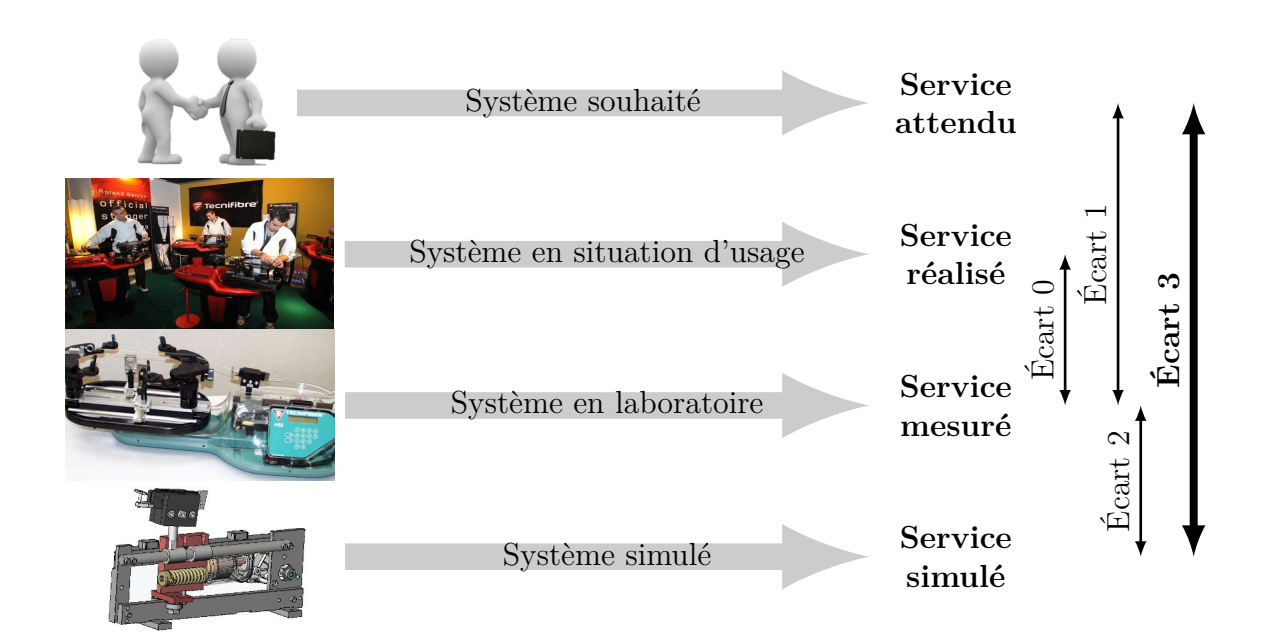
Modélisation et étude des équilibres statiques

— Éléments de correction des TDs —



- Écart 0 évalue la fiabilité et la fidélité du système de laboratoire didactisé par rapport au système réel. Il répond aux questions « le système de laboratoire est-il représentatif du système réel? Permet-il de l'étudier de manière fiable? »
- Écart 1 évalue le respect du CDCF par le système réel sur prototype instrumenté en laboratoire. Il répond à la question « le système réalisé, répond-il au CDCF? ».
- **Écart 2** évalue la fiabilité du modèle et de ses hypothèses. Il répond à la question « le modèle est-il correct? ».
- Écart 3 évalue, en phase de conception, le respect du CDCF à partir d'un modèle simulé. Il répond à la question « le modèle du système satisfait-il les exigences du CDCF? ».

Activités de T.

Exercices —	
Exercice 1 – Système élévateur de rack	3
Exercice 2 – Boîtier de direction	6
Exercice 4 – Glissière de cellule d'injection plastique	10
Exercice 7 – Excavatrice	13

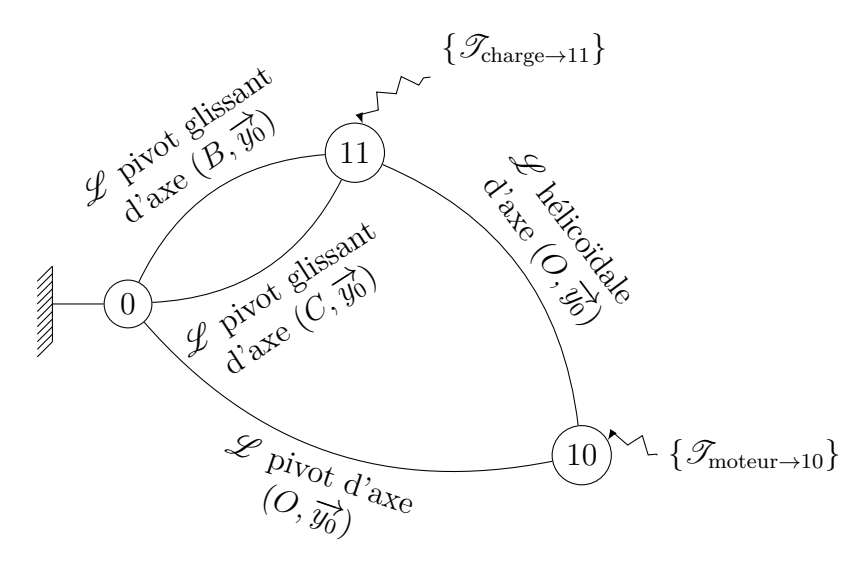


Nicolas Mesnier, lycée Jean Perrin, Lyon Compléments & mises à jour sur le site des PCSI https://cahier-de-prepa.fr/pcsi-perrin — Version du 12 avril 2025 —

— Exercice 1 —

Système élévateur de rack

Question 1.1. D'après le schéma cinématique et les actions mécaniques donnés, il vient le graphe de structure suivant :



Question 1.2. Par cours, il vient les expressions canoniques des torseurs d'actions mécaniques transmissibles par les liaisons :

— liaison pivot d'axe $(O, \overrightarrow{y_0})$:

$$\{\mathscr{T}_{0\to 10}\} = \left\{ \begin{array}{c} X_0 \overrightarrow{x_0} + Y_0 \overrightarrow{y_0} + Z_0 \overrightarrow{z_0} \\ L_0 \overrightarrow{x_0} + N_0 \overrightarrow{z_0} \end{array} \right\}$$

— liaison pivot glissant d'axe $(B, \overrightarrow{y_0})$:

$$\{\mathscr{T}_{0\to 11}^{\widehat{\mathbb{B}}}\} = \left\{ \begin{array}{l} X_B \overrightarrow{x_0} + Z_B \overrightarrow{z_0} \\ L_B \overrightarrow{x_0} + N_B \overrightarrow{z_0} \end{array} \right\}$$

— liaison pivot glissant d'axe $(C, \overrightarrow{y_0})$:

$$\{\mathscr{T}_{0\to 11}^{\bigodot}\} = \left\{ \begin{array}{l} X_C \overrightarrow{x_0} + Z_C \overrightarrow{z_0} \\ L_C \overrightarrow{x_0} + N_C \overrightarrow{z_0} \end{array} \right\}$$

— liaison hélicoïdale d'axe $(O, \overrightarrow{y_0})$ et de pas p à droite :

$$\{\mathscr{T}_{10\to 11}\} = \left\{ \begin{array}{c} X\overrightarrow{x_0} + Y\overrightarrow{y_0} + Z\overrightarrow{z_0} \\ L\overrightarrow{x_0} - \frac{p}{2\pi}Y\overrightarrow{y_0} + N\overrightarrow{z_0} \end{array} \right\}$$

3

vérifiant bien $\dim(\operatorname{Vect}(\{\mathscr{T}_{10\to 11}\})) = 5$.

Question 1.3. Par changement de point, on a :

$$\overrightarrow{M_{O,0\rightarrow11}^{\textcircled{B}}} = \overrightarrow{M_{B,0\rightarrow11}^{\textcircled{B}}} + \overrightarrow{F_{0\rightarrow11}^{\textcircled{B}}} \wedge \overrightarrow{BO}$$

$$= L_B \overrightarrow{x_0} + N_B \overrightarrow{z_0} + (X_B \overrightarrow{x_0} + Z_B \overrightarrow{z_0}) \wedge (a\overrightarrow{x_0} - \mu \overrightarrow{y_0})$$

$$= (L_B + \mu Z_B) \overrightarrow{x_0} + aZ_B \overrightarrow{y_0} + (N_B - \mu X_B) \overrightarrow{z_0}$$

d'où

$$\left\{ \mathscr{T}_{0\to11}^{\textcircled{B}} \right\} = \left\{ \begin{array}{c} X_B \overrightarrow{x_0} + Z_B \overrightarrow{z_0} \\ (L_B + \mu Z_B) \overrightarrow{x_0} + a Z_B \overrightarrow{y_0} + (N_B - \mu X_B) \overrightarrow{z_0} \end{array} \right\}$$

Par une démarche identique et sachant $\overrightarrow{CO} = -a\overrightarrow{x_0} - \mu \overrightarrow{y_0}$, procédant aux changements de variables

$$B \to C$$
 et $a \to -a$

il vient:

$$\left\{ \mathscr{T}_{0\to11}^{\bigcirc} \right\} = \left\{ \begin{array}{c} X_C \overrightarrow{x_0} + Z_C \overrightarrow{z_0} \\ \left(L_C + \mu Z_C \right) \overrightarrow{x_0} - a Z_C \overrightarrow{y_0} + \left(N_C - \mu X_C \right) \overrightarrow{z_0} \end{array} \right\}$$

Avant de poursuivre, on peut remarquer que $\{\mathscr{T}_{0\to 11}^{\textcircled{B}}\}$ est caractéristique d'une liaison glissière de direction $\overrightarrow{y_0}$ avec

$$\dim\left(\operatorname{Vect}(\{\mathscr{T}_{0\to11}^{\textcircled{B}}\}+\{\mathscr{T}_{0\to11}^{\textcircled{C}}\})\right)=\dim\left(\operatorname{Vect}(\{\mathscr{T}_{0\to11}^{\textcircled{B}}\})\cup\operatorname{Vect}(\{\mathscr{T}_{0\to11}^{\textcircled{C}}\})\right)=5$$

tel que le degré d'hyperstatisme soit

$$\begin{split} h &= \dim \left(\mathrm{Vect}(\{\mathscr{T}_{0 \to 11}^{\textcircled{B}}\}) \right) + \dim \left(\mathrm{Vect}(\{\mathscr{T}_{0 \to 11}^{\textcircled{C}}\}) \right) - \dim \left(\mathrm{Vect}(\{\mathscr{T}_{0 \to 11}^{\textcircled{B}}\}) \cup \mathrm{Vect}(\{\mathscr{T}_{0 \to 11}^{\textcircled{C}}\}) \right) \\ &= \dim \left(\mathrm{Vect}(\{\mathscr{T}_{0 \to 11}^{\textcircled{B}}\}) \cap \mathrm{Vect}(\{\mathscr{T}_{0 \to 11}^{\textcircled{C}}\}) \right) = 3 \end{split}$$

et corresponde au nombre de paramètres géométriques à fixer pour s'assurer que les deux droites affines, axes des liaisons pivot glissant, soient parallèles et non confondues.

Question 1.4. Pour déterminer une expression de C_m en fonction de P on peut :

- 1. isoler **10** et écrire l'équation de moment autour de la droite $(O, \overrightarrow{y_0})$, c'est-à-dire selon la mobilité en rotation permise par la liaison pivot \mathcal{L}_{0-10} , de laquelle on tire une expression du type $C_m = f(Y)$;
- 2. isoler 11 et écrire l'équation de résultante dans la direction $\overrightarrow{y_0}$, c'est-à-dire selon les mobilités en translation permises par les deux liaisons pivot glissant d'axes parallèles, de laquelle on tire une expression du type Y = g(P);
- 3. par composition des résultats, on tire une expression du type

$$C_m = f \circ g(P)$$

Mise en œuvre de la stratégie :

1. On isole **10** en équilibre dans un référentiel supposé galiléen et on lui applique le principe fondamental de la statique. En particulier, l'équation de moment autour de l'axe $(O, \overrightarrow{y_0})$ donne :

$$/\left(O, \overrightarrow{y_0}\right): \underbrace{\overrightarrow{M_{O,0 \to 10}} \cdot \overrightarrow{y_0}}_{0 \text{ (pivot } \mathscr{L}_{0-10}} + \overrightarrow{M_{O,11 \to 10}} \cdot \overrightarrow{y_0} + C_m = 0$$

Avec, par théorème d'actions réciproques

$$\overrightarrow{M_{O,11\rightarrow 10}}\cdot\overrightarrow{y_0}=-\overrightarrow{M_{O,10\rightarrow 11}}\cdot\overrightarrow{y_0}=\frac{p}{2\pi}Y$$

il vient

$$C_m + \frac{p}{2\pi}Y = 0 \iff \boxed{C_m = \frac{-p}{2\pi}Y}$$

2. On isole **11** en équilibre dans un référentiel supposé galiléen et on lui applique le principe fondamental de la statique. En particulier, l'équation de résultante dans la direction $\overrightarrow{y_0}$ donne :

$$/\overrightarrow{y_0}: \underbrace{F_{0\to 11}^{\textcircled{B}} \cdot \overrightarrow{y_0}}_{0} + \underbrace{F_{0\to 11}^{\textcircled{C}} \cdot \overrightarrow{y_0}}_{0} + \overline{F_{10\to 11}} \cdot \overrightarrow{y_0} - P = 0$$

il vient

$$Y = P$$

3. Par substitution, il vient finalement:

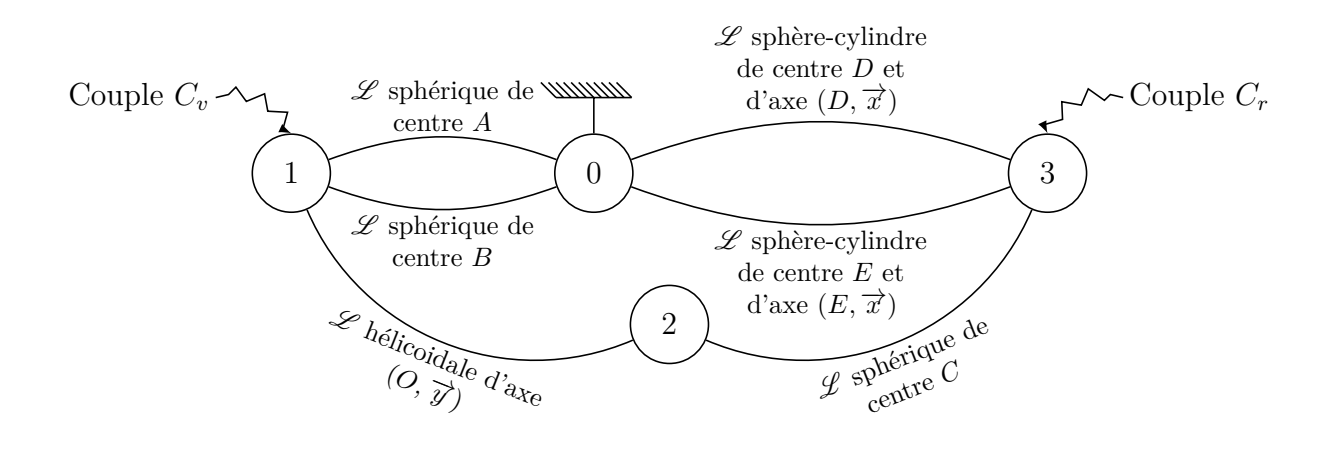
$$\boxed{C_m = \frac{-p}{2\pi}P}$$

Question 1.5. Avec $p=2\pi \text{ mm}=2\pi\times 10^{-3}\,\text{m}$ et $P=100\,\text{N},$ il vient :

$$C_m = -0.1 \,\mathrm{N \cdot m}$$

Boîtier de direction

Question 2.1. D'après le schéma cinématique et les actions mécaniques donnés, il vient le graphe de structure suivant :



Question 2.2. 1. On isole **1** en équilibre dans un référentiel supposé galiléen. Bilan des actions mécaniques extérieures :

— liaison sphérique de centre A:

$$\{\mathscr{T}_{0\to 1}^{\textcircled{A}}\} = \left\{ \begin{array}{c} X_A \overrightarrow{x} + Y_A \overrightarrow{y} + Z_A \overrightarrow{z} \\ \overrightarrow{0} \end{array} \right\}$$

— liaison sphérique de centre B:

$$\{\mathscr{T}_{0\to 1}^{\textcircled{B}}\} = \left\{ \begin{array}{c} X_B \overrightarrow{x} + Y_B \overrightarrow{y} + Z_B \overrightarrow{z} \\ \overrightarrow{0} \end{array} \right\}$$

— liaison hélicoïdale d'axe (O, \overrightarrow{y}) et de pas réduit $p^* = p/(2\pi)$ à droite :

$$\{\mathscr{T}_{2 o 1}\} = \left\{ egin{array}{l} X_{21}\overrightarrow{x} + Y_{21}\overrightarrow{y} + Z_{21}\overrightarrow{z} \ L_{21}\overrightarrow{x} - p^*Y_{21}\overrightarrow{y} + N_{21}\overrightarrow{z} \end{array}
ight\}$$

— couple d'entrée

$$\left\{ \begin{array}{c} \overrightarrow{0} \\ C_v \overrightarrow{y} \end{array} \right\}$$

On applique le principe fondamental de la statique

$$\{\mathscr{T}_{0\to 1}^{\textcircled{a}}\} + \{\mathscr{T}_{0\to 1}^{\textcircled{B}}\} + \{\mathscr{T}_{2\to 1}\} + \left\{\begin{array}{c} \overrightarrow{0} \\ C_v \overrightarrow{y} \end{array}\right\} = \{0\}$$

L'équation de résultante, en projection dans la base $(\overrightarrow{x},\overrightarrow{y},\overrightarrow{z})$ donne :

$$\overrightarrow{x}$$
: $0 = X_A + X_B + X_{21}$
 \overrightarrow{y} : $0 = Y_A + Y_B + Y_{21}$
 \overrightarrow{z} : $0 = Z_A + Z_B + Z_{21}$

Par changement de point, il vient en O:

$$\overrightarrow{M_{O,0\to 1}^{\textcircled{A}}} = \overrightarrow{M_{A,0\to 1}^{\textcircled{A}}} + \overrightarrow{F_{0\to 1}^{\textcircled{A}}} \wedge \overrightarrow{AO}$$

$$= (X_A \overrightarrow{x} + Y_A \overrightarrow{y} + Z_A \overrightarrow{z}) \wedge -y_A \overrightarrow{y}$$

$$= y_A (Z_A \overrightarrow{x} - X_A \overrightarrow{z})$$

et de façon similaire, avec le changement de variable $A \to B$, il vient :

$$\overrightarrow{M_{O,0\to 1}^{(B)}} = y_B \left(Z_B \overrightarrow{x} - X_B \overrightarrow{z} \right)$$

d'où l'équation de moment au point O en projection dans la base $(\overrightarrow{x},\overrightarrow{y},\overrightarrow{z})$:

$$/(O, \overrightarrow{x}): \qquad 0 = y_A Z_A + y_B Z_B + L_{21}$$

$$/(O, \overrightarrow{y}): \qquad \boxed{0 = C_v - p^* Y_{21}}$$

$$/(O, \overrightarrow{z}): \qquad 0 = -y_A X_A - y_B X_B + N_{21}$$

- 2. On isole **2** en équilibre dans un référentiel supposé galiléen. Bilan des actions mécaniques extérieures :
 - liaison sphérique de centre C:

$$\{\mathscr{T}_{3\to 2}\} = \left\{\begin{array}{c} X_C \overrightarrow{x} + Y_C \overrightarrow{y} + Z_C \overrightarrow{z} \\ \overrightarrow{0} \end{array}\right\} = \left\{\begin{array}{c} X_C \overrightarrow{x} + Y_C \overrightarrow{y} + Z_C \overrightarrow{z} \\ x_C \left(-Z_C \overrightarrow{y} + Y_C \overrightarrow{z}\right) \end{array}\right\}$$

obtenu par changement de point :

$$\overrightarrow{M_{O,3\to 2}} = \overrightarrow{M_{C,3\to 2}} + \overrightarrow{F_{3\to 2}} \wedge \overrightarrow{CO}$$

$$= (X_C \overrightarrow{x} + Y_C \overrightarrow{y} + Z_C \overrightarrow{z}) \wedge -x_C \overrightarrow{x}$$

$$= x_C (-Z_C \overrightarrow{y} + Y_C \overrightarrow{z})$$

— liaison hélicoïdale d'axe (O, \overrightarrow{y}) et de pas réduit $p^* = p/(2\pi)$ à droite :

$$\{\mathscr{T}_{1\to 2}\} = \left\{ \begin{array}{c} -X_{21}\overrightarrow{x} - Y_{21}\overrightarrow{y} - Z_{21}\overrightarrow{z} \\ -L_{21}\overrightarrow{x} + p^*Y_{21}\overrightarrow{y} - N_{21}\overrightarrow{z} \end{array} \right\}$$

On applique le principe fondamental de la statique

$$\{\mathscr{T}_{3\to 2}\} + \{\mathscr{T}_{1\to 2}\} = \{0\}$$

L'équation de résultante, en projection dans la base $(\overrightarrow{x}, \overrightarrow{y}, \overrightarrow{z})$ donne :

$$/\overrightarrow{x}$$
: $0 = X_C - X_{21}$
 $/\overrightarrow{y}$: $0 = Y_C - Y_{21}$
 $/\overrightarrow{z}$: $0 = Z_C - Z_{21}$

L'équation de moment au point C en projection dans la base $(\overrightarrow{x}, \overrightarrow{y}, \overrightarrow{z})$:

$$/(C, \overrightarrow{x}): \qquad 0 = -L_{21}$$

$$/(C, \overrightarrow{y}): \qquad 0 = -x_C Z_C + p^* Y_{21}$$

$$/(C, \overrightarrow{z}): \qquad 0 = x_C Y_C - N_{21}$$

- 3. On isole ${\bf 3}$ en équilibre dans un référentiel supposé galiléen. Bilan des actions mécaniques extérieures :
 - liaison sphérique de centre C:

$$\{\mathcal{T}_{2\to 3}\} = \left\{ \begin{array}{c} -X_C \overrightarrow{x} - Y_C \overrightarrow{y} - Z_C \overrightarrow{z} \\ \overrightarrow{0} \end{array} \right\}$$

— liaison sphère-cylindre de centre D et d'axe (D,\overrightarrow{x}) :

$$\{\mathscr{T}_{0\to 3}^{\textcircled{D}}\} = \left\{\begin{array}{c} Y_D \overrightarrow{y} + Z_D \overrightarrow{z} \\ \overrightarrow{0} \end{array}\right\}$$

— liaison sphère-cylindre de centre E et d'axe (E, \overrightarrow{x}) :

$$\{\mathscr{T}_{0\to 3}^{(E)}\} = \left\{\begin{array}{c} Y_E \overrightarrow{y} + Z_E \overrightarrow{z} \\ \overrightarrow{0} \end{array}\right\}$$

— couple de sortie

$$\left\{ \begin{array}{c} \overrightarrow{0} \\ C_r \overrightarrow{x} \end{array} \right\}$$

On applique le principe fondamental de la statique

$$\{\mathscr{T}_{0\to3}^{\textcircled{D}}\} + \{\mathscr{T}_{0\to3}^{\textcircled{E}}\} + \{\mathscr{T}_{2\to3}\} + \left\{\begin{array}{c} \overrightarrow{0} \\ C_r \overrightarrow{x} \end{array}\right\} = \{0\}$$

L'équation de résultante, en projection dans la base $(\overrightarrow{x},\overrightarrow{y},\overrightarrow{z})$ donne :

$$\overrightarrow{x}$$
: $0 = -X_C$
 \overrightarrow{y} : $0 = -Y_C + Y_D + Y_E$
 \overrightarrow{z} : $0 = -Z_C + Z_D + Z_E$

Par changement de point, il vient en D:

$$\overrightarrow{M_{D,0\to 3}^{\textcircled{E}}} = \overrightarrow{M_{E,0\to 3}^{\textcircled{E}}} + \overrightarrow{F_{0\to 3}^{\textcircled{E}}} \wedge \overrightarrow{ED}$$

$$= (Y_E \overrightarrow{y} + Z_E \overrightarrow{z}) \wedge (x_D - x_E) \overrightarrow{x}$$

$$= (x_D - x_E) (Z_E \overrightarrow{y} - Y_E \overrightarrow{z})$$

$$\overrightarrow{M_{D,2\to 3}} = \overrightarrow{M_{C,2\to 3}} + \overrightarrow{F_{2\to 3}} \wedge \overrightarrow{CD}$$

$$= -(X_C \overrightarrow{x} + Y_C \overrightarrow{y} + Z_C \overrightarrow{z}) \wedge [(x_D - x_C) \overrightarrow{x} + k \overrightarrow{z}]$$

$$= -kY_C \overrightarrow{x} + (kX_C - (x_D - x_C)Z_C) \overrightarrow{y} + (x_D - x_C)Y_C \overrightarrow{z}$$

d'où l'équation de moment au point D en projection dans la base $(\overrightarrow{x},\overrightarrow{y},\overrightarrow{z})$:

$$/(D, \overrightarrow{x}): \qquad \boxed{0 = -kY_C + C_r}$$

$$/(D, \overrightarrow{y}): \qquad 0 = (x_D - x_E)Z_E + kX_C - (x_D - x_C)Z_C$$

$$/(D, \overrightarrow{z}): \qquad 0 = -(x_D - x_E)Y_E + (x_D - x_C)Y_C$$

Question 2.3. À partir des 3 équations mises en évidence, c'est-à-dire :

— pour 1 isolé, équation de moment autour de l'axe (O, \overrightarrow{y})

$$C_v = p^* Y_{21}$$

— pour 2 isolé, équation de résultante dans la direction \overrightarrow{y}

$$Y_C = Y_{21}$$

— pour 3 isolé, équation de moment autour de l'axe (D, \overrightarrow{x})

$$C_r = kY_C$$

puis par simples substitutions successives, il vient

$$C_r = \frac{k}{p^*} C_v$$

Des 15 autres équations, on tire les inconnues d'actions mécaniques effectivement transmises par les liaisons, non demandées.

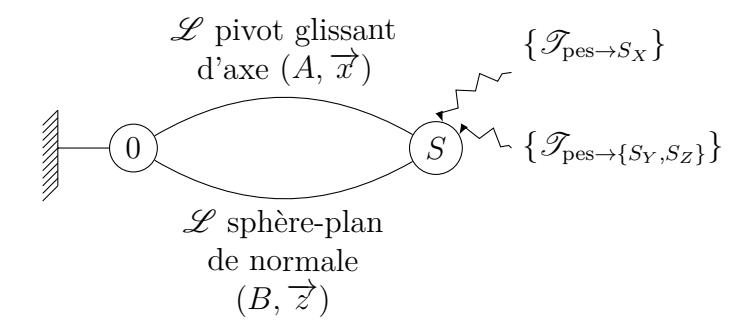
Question 2.4. Pour trouver le plus rapidement possible une relation entre C_r et C_v , il est nécessaire d'exploiter les mobilités des liaisons. En particulier, il est nécessaire de remarquer que c'est la translation de 2 par rapport à 1 dans la direction \overrightarrow{y} qui induit la rotation de 3 par rapport à 0 autour de la droite (DE), translation elle-même induite, par l'intermédiaire de la liaison hélicoïdale, par la rotation de 1 par rapport à 0 autour de la droite (AB). Avec ces éléments, il est clair qu'il faut :

- isoler 1 : équation de moment autour de l'axe (O, \overrightarrow{y}) , associée à la rotation autour de (AB);
- isoler **2** : équation de résultante dans la direction \overrightarrow{y} , associée à la translation dans la direction \overrightarrow{y} ;
- isoler $\bf 3$: équation de moment autour de l'axe (D, \overrightarrow{x}) , associé à la rotation autour de (DE).

— Exercice 4 —

Glissière de cellule d'injection plastique

Question 4.1. D'après les données du sujet, il vient le graphe de structure suivant :



Question 4.2. On isole l'ensemble S. Bilan des actions mécaniques extérieures :

— liaison pivot glissant d'axe (A, \overrightarrow{x}) :

$$\{\mathscr{T}_{0\to S}^{\textcircled{A}}\} = \left\{ \begin{array}{l} Y_A \overrightarrow{y} + Z_A \overrightarrow{z} \\ M_A \overrightarrow{y} + N_A \overrightarrow{z} \end{array} \right\}$$

— liaison sphère-plan de normale (B, \overrightarrow{z}) :

$$\{\mathscr{T}_{0\to S}^{\textcircled{B}}\} = \left\{\begin{array}{c} Z_B \overrightarrow{z} \\ \overrightarrow{0} \end{array}\right\}$$

— action de la pesanteur sur le module S_X :

$$\{\mathscr{T}_{\mathrm{pes}\to S_X}\} = \left\{\begin{array}{c} -M_X g \overrightarrow{z} \\ \overrightarrow{0} \end{array}\right\}$$

— action de la pesanteur sur l'ensemble mobile $\{S_Y,S_Z\}$:

$$\{\mathscr{T}_{\mathrm{pes}\to\{S_Y,S_Z\}}\} = \left\{\begin{array}{c} -M_{YZ}g\overrightarrow{z} \\ \overrightarrow{0} \end{array}\right\}$$

Question 4.3. $S = \{S_X, S_Y, S_Z\}$ est en équilibre dans un référentiel galiléen. On lui applique le principe fondamental de la statique :

$$\{\mathscr{T}_{0\to S}^{(\underline{\mathbf{A}})}\} + \{\mathscr{T}_{0\to S}^{(\underline{\mathbf{B}})}\} + \{\mathscr{T}_{\mathrm{pes}\to S_X}\} + \{\mathscr{T}_{\mathrm{pes}\to \{S_Y,S_Z\}}\} = \{0\}$$

Équation de résultante :

$$/\overrightarrow{x}$$
: $0 = 0$
 $/\overrightarrow{y}$: $0 = Y_A$
 $/\overrightarrow{z}$: $0 = Z_A + Z_B - (M_X + M_{YZ}) g$

Pour écrire l'équation de moment au point A, on exprime par changement de point les moments au point A:

$$\overrightarrow{M_{A,0\to S}^{\textcircled{B}}} = \overrightarrow{M_{B,0\to S}^{\textcircled{B}}} + \overrightarrow{F_{0\to S}^{\textcircled{B}}} \wedge \overrightarrow{BA}$$

$$= Z_B \overrightarrow{z} \wedge E \overrightarrow{y}$$

$$= -EZ_B \overrightarrow{x'}$$

Procédant aux simples changements de variables $Z_B \to -M_X g$ et $E \to a$ et $Z_B \to -M_{YZ} g$ et $E \to -CY$, il vient immédiatement :

$$\overrightarrow{M_{A,\mathrm{pes}\to S_X}} = aM_Xg\overrightarrow{x}$$

$$\overrightarrow{M_{A,\mathrm{pes}\to \{S_Y,S_Z\}}} = -CYM_{YZ}g\overrightarrow{x}$$

d'où l'équation de moment au point A:

$$/(A, \overrightarrow{x}): 0 = -EZ_B + aM_X g - CYM_{YZ}g$$

 $/(A, \overrightarrow{y}): 0 = M_A$
 $/(A, \overrightarrow{z}): 0 = N_A$

Avec l'équation de moment autour de l'axe (A, \overrightarrow{x}) , on trouve :

$$Z_B = g \frac{aM_X - CYM_{YZ}}{E} \implies \left\{ \mathcal{T}_{0 \to S}^{\textcircled{B}} \right\} = \left\{ \begin{array}{c} g \frac{aM_X - CYM_{YZ}}{\textcircled{E}} \overrightarrow{z} \\ \overrightarrow{0} \end{array} \right\}$$

Exploitant ce résultat dans l'équation de résultante dans la direction \overrightarrow{z} , il vient :

$$Z_A = g \left[\left(1 - \frac{a}{E} \right) M_X + \left(1 + \frac{CY}{E} \right) M_{YZ} \right]$$

d'où

$$\left\{ \mathscr{T}_{0\to S}^{\textcircled{A}} \right\} = \left\{ g \left[\left(1 - \frac{a}{E} \right) M_X + \left(1 + \frac{CY}{E} \right) M_{YZ} \right] \overrightarrow{z} \right\}$$

Question 4.4. Le sens de l'effort exercé par la liaison sphère-plan dépend du signe de Z_B . Comme g et E sont positifs, il vient par application numérique :

$$aM_X - CYM_{YZ} = 0.2 \times 230 - 0.5 \times 120 = 46 - 60 = -14 \implies Z_B < 0$$

qui signifie que l'action de la liaison sphère-plan est dirigée vers le bas, selon $-\overrightarrow{z}$.

Question 4.5. Comme nous avons isolé S, l'action du rail $\mathbf{0}$ est transmise par le galet $\mathbf{9}$ si, et seulement si, son action est dirigée vers le bas, selon $-\overrightarrow{z}$, qui correspond à

$$Z_B < 0 \iff aM_X - CYM_{YZ} < 0 \iff CY > a\frac{M_X}{M_{YZ}}$$

et que l'on traduit en condition sur la position du centre de gravité de l'ensemble mobile $\{S_Y, S_Z\}$.

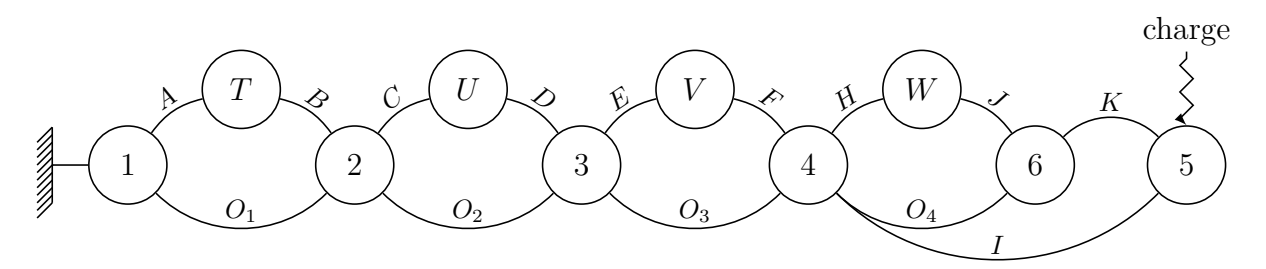
Question 4.6. Par application numérique, on a :

$$Z_B = \frac{g}{E} (aM_X - CYM_{YZ}) = \frac{9.81}{0.5} \times -14 \approx 274.7 \,\text{N}$$

Excavatrice

Ces éléments de corrigé sont rédigés pour une seule configuration géométrique ; leur transposition à l'autre étant supposée évidente.

Question 7.1. Le mécanisme pouvant être représenté dans un plan de normale notée \overrightarrow{z} , on procède à une étude plane telle que chaque liaison pivot d'axe $(\Box, \overrightarrow{z})$ soit simplement notée \square sur le graphe de structure.

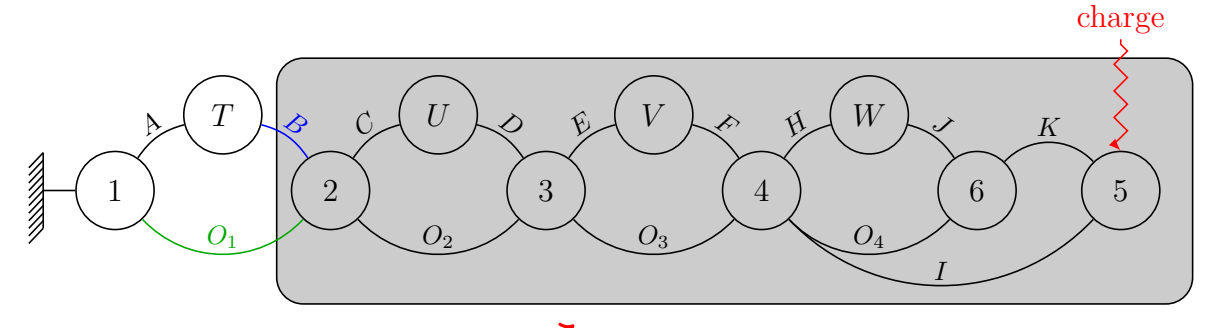


Notant que les vérins T, U, V et W sont chacun soumis à 2 glisseurs, il vient par théorème d'un solide soumis à deux glisseurs que les axes centraux des torseurs d'actions mécaniques transmissibles par les vérins sont :

- $-T: \Delta \overrightarrow{F_{T \to 2}} = (AB);$ $-U: \Delta \overrightarrow{F_{U \to 3}} = (CD);$ $-V: \Delta \overrightarrow{F_{V \to 4}} = (EF);$ $-W: \Delta \overrightarrow{F_{W \to 6}} = (GH).$

Action mécanique développée par le vérin T

Pour déterminer l'action mécanique développée par le vérin T, on isole l'ensemble $S_T = \{2, 3, 4, 5, 6, U, V, W\}$ soumis à trois glisseurs :

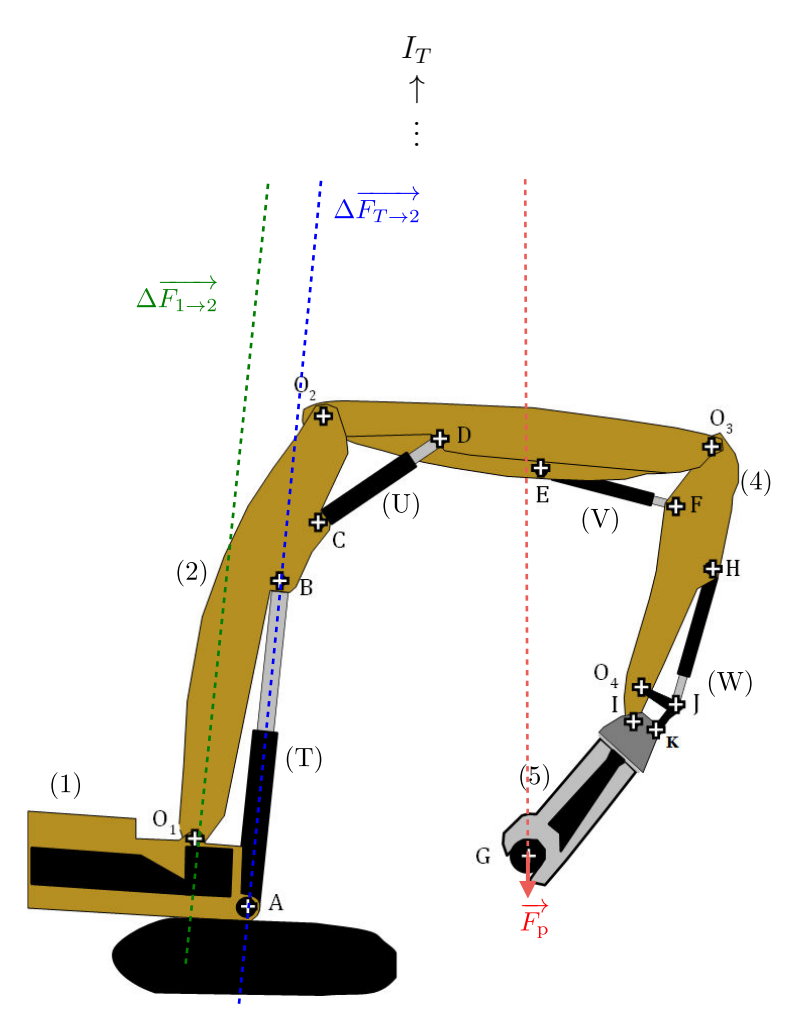


- l'action de la charge (connue);
- l'action du vérin T (axe central connu); \angle (AB)
- action de la liaison pivot avec 1 (glisseur au point O_1). $\times O_1$

Par théorème d'un solide soumis à 3 glisseurs, les 3 axes centraux sont coplanaires et, comme les axes centraux de $\{\mathcal{T}_{\text{charge}\to 5}\}$ et $\{\mathcal{T}_{T\to 2}\}$ sont sécants au point I_T , alors les 3 axes centraux le sont en ce point; ce qui permet de déterminer l'axe central de $\{\mathcal{T}_{1\to 2}\}$ comme la droite (O_1I_T) . Au point I_T , il vient alors :

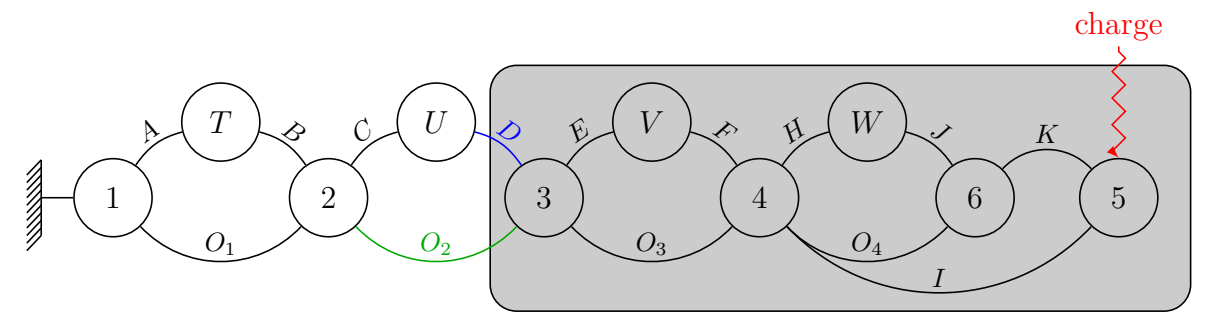
$$\left\{ \begin{array}{c} \overrightarrow{F_p} \\ \overrightarrow{0} \end{array} \right\} + \left\{ \begin{array}{c} \overrightarrow{F_{T \to 2}} \\ \overrightarrow{0} \end{array} \right\} + \left\{ \begin{array}{c} \overrightarrow{F_{1 \to 2}} \\ \overrightarrow{0} \end{array} \right\} = \left\{ 0 \right\}$$

Malheureusement, le document réponse n'est pas suffisamment grand dans cette configuration pour réaliser la construction.



Action mécanique développée par le vérin U

Pour déterminer l'action mécanique développée par le vérin U, on isole l'ensemble $S_U = \{3, 4, 5, 6, V, W\}$ soumis à trois glisseurs :



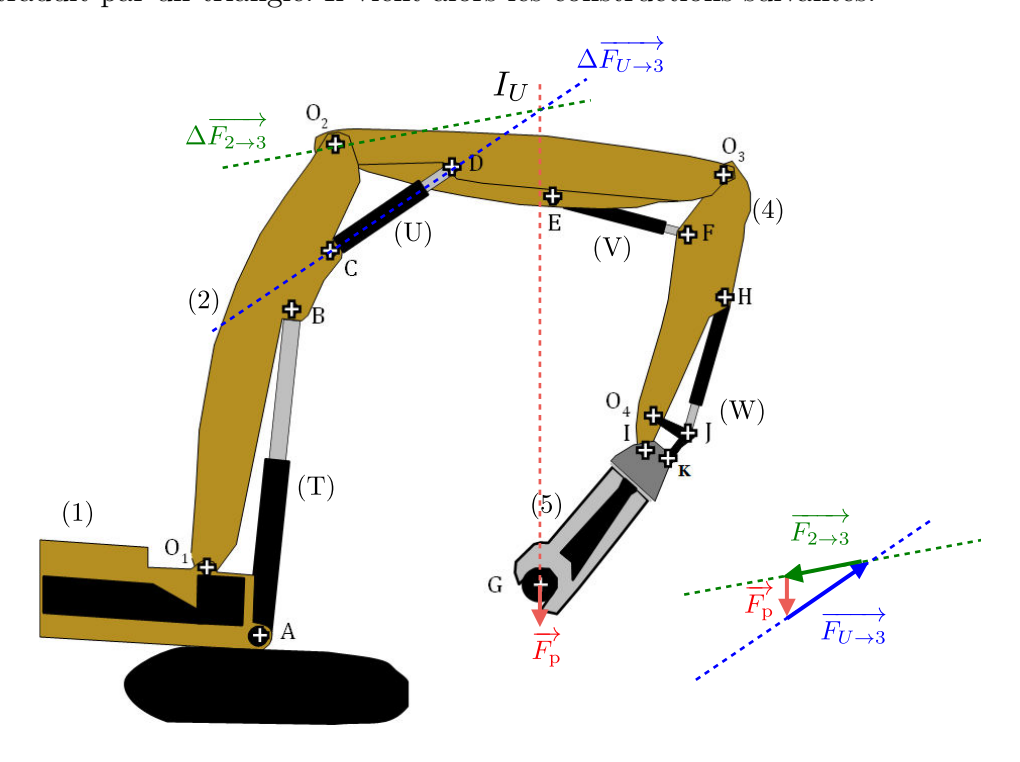
- l'action de la charge (connue);
- l'action du vérin U (axe central connu); \angle (CD)
- action de la liaison pivot avec 2 (glisseur au point O_2). $\times O_2$

Par théorème d'un solide soumis à 3 glisseurs, les 3 axes centraux sont coplanaires et, comme les axes centraux de $\{\mathcal{T}_{charge\to 5}\}$ et $\{\mathcal{T}_{U\to 3}\}$ sont sécants au point I_U , alors les 3 axes centraux le sont en ce point; ce qui permet de déterminer l'axe central de $\{\mathcal{T}_{2\to 3}\}$ comme la droite (O_2I_U) . Après avoir tracé les 3 axes centraux, et sachant qu'au point I_U on a :

$$\left\{ \begin{array}{c} \overrightarrow{F_p} \\ \overrightarrow{0} \end{array} \right\} + \left\{ \begin{array}{c} \overrightarrow{F_{U \to 3}} \\ \overrightarrow{0} \end{array} \right\} + \left\{ \begin{array}{c} \overrightarrow{F_{2 \to 3}} \\ \overrightarrow{0} \end{array} \right\} = \left\{ 0 \right\}$$

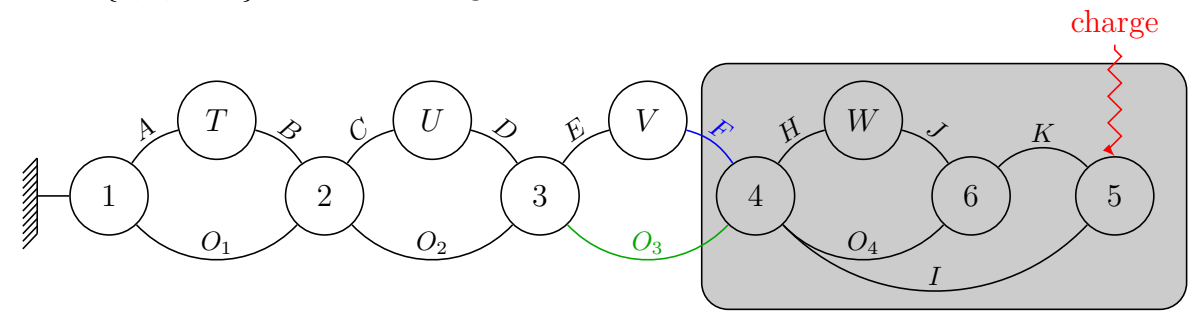
il reste à réaliser graphiquement l'équation de résultante :

$$\overrightarrow{F_p} + \overrightarrow{F_{U \to 3}} + \overrightarrow{F_{2 \to 3}} = \overrightarrow{0}$$



Action mécanique développée par le vérin V

Pour déterminer l'action mécanique développée par le vérin V, on isole l'ensemble $S_V = \{4, 5, 6, W\}$ soumis à trois glisseurs :



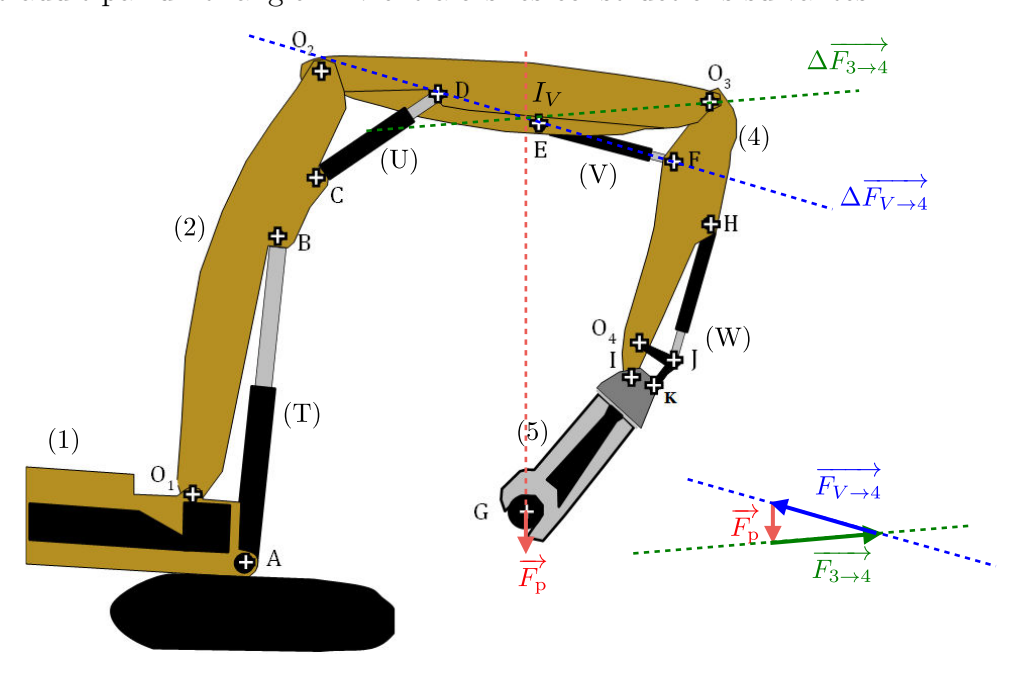
- l'action de la charge (connue);
- l'action du vérin V (axe central connu); \angle (EF)
- action de la liaison pivot avec 2 (glisseur au point O_3). $\times O_3$

Par théorème d'un solide soumis à 3 glisseurs, les 3 axes centraux sont coplanaires et, comme les axes centraux de $\{\mathcal{T}_{\text{charge}\to 5}\}$ et $\{\mathcal{T}_{V\to 4}\}$ sont sécants au point I_V , alors les 3 axes centraux le sont en ce point; ce qui permet de déterminer l'axe central de $\{\mathcal{T}_{3\to 4}\}$ comme la droite (O_3I_V) . Après avoir tracé les 3 axes centraux, et sachant qu'au point I_V on a :

$$\left\{ \begin{array}{c} \overrightarrow{F_p} \\ \overrightarrow{0} \end{array} \right\} + \left\{ \begin{array}{c} \overrightarrow{F_{V \to 4}} \\ \overrightarrow{0} \end{array} \right\} + \left\{ \begin{array}{c} \overrightarrow{F_{3 \to 4}} \\ \overrightarrow{0} \end{array} \right\} = \{0\}$$

il reste à réaliser graphiquement l'équation de résultante :

$$\overrightarrow{F_p} + \overrightarrow{F_{V \to 4}} + \overrightarrow{F_{3 \to 4}} = \overrightarrow{0}$$



Action mécanique développée par le vérin W

Pour déterminer l'action mécanique développée par le vérin W, il est nécessaire de procéder en deux temps :

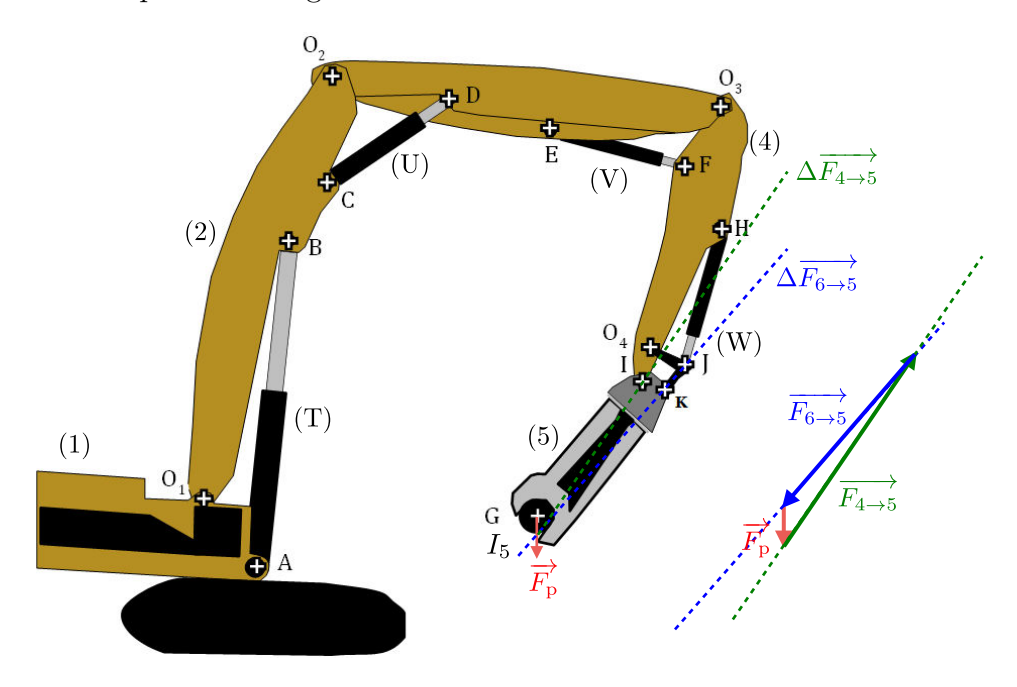
- 1. on isole $\mathbf{5}$ soumis à trois glisseurs :
 - l'action de la charge (connue);
 - l'action de $\mathbf{6}$ (axe central connu); \diagup (KJ) (donné dans le sujet)
 - action de la liaison pivot avec 4 (glisseur au point I). $\times I$

Par théorème d'un solide soumis à 3 glisseurs, les 3 axes centraux sont coplanaires et, comme les axes centraux de $\{\mathcal{T}_{\text{charge}\to 5}\}$ et $\{\mathcal{T}_{6\to 5}\}$ sont sécants au point I_5 , alors les 3 axes centraux le sont en ce point; ce qui permet de déterminer l'axe central de $\{\mathcal{T}_{4\to 5}\}$ comme la droite (I_5I) . Après avoir tracé les 3 axes centraux, et sachant qu'au point I_5 on a :

$$\left\{\begin{array}{c} \overrightarrow{F_p} \\ \overrightarrow{0} \end{array}\right\} + \left\{\begin{array}{c} \overrightarrow{F_{6 \to 5}} \\ \overrightarrow{0} \end{array}\right\} + \left\{\begin{array}{c} \overrightarrow{F_{4 \to 5}} \\ \overrightarrow{0} \end{array}\right\} = \left\{0\right\}$$

il reste à réaliser graphiquement l'équation de résultante :

$$\overrightarrow{F_p} + \overrightarrow{F_{6 \to 5}} + \overrightarrow{F_{4 \to 5}} = \overrightarrow{0}$$



- 2. on isole 6 soumis à trois glisseurs :
 - l'action de 5 (connue);
 - l'action du vérin W (axe central connu); \swarrow (HJ)

— action de la liaison pivot avec 4 (glisseur au point O_4). $\times 0_4$

Par théorème d'un solide soumis à 3 glisseurs, les 3 axes centraux sont coplanaires et, comme les axes centraux de $\{\mathcal{T}_{5\to 6}\}$ et $\{\mathcal{T}_{W\to 6}\}$ sont sécants au point J, alors les 3 axes centraux le sont en ce point; ce qui permet de déterminer l'axe central de $\{\mathcal{T}_{4\to 6}\}$ comme la droite (O_4J) . Après avoir tracé les 3 axes centraux, et sachant qu'au point J on a :

$$\left\{ \begin{array}{c} \overrightarrow{F_{5\rightarrow 6}} \\ \overrightarrow{0} \end{array} \right\} + \left\{ \begin{array}{c} \overrightarrow{F_{W\rightarrow 6}} \\ \overrightarrow{0} \end{array} \right\} + \left\{ \begin{array}{c} \overrightarrow{F_{4\rightarrow 6}} \\ \overrightarrow{0} \end{array} \right\} = \{0\}$$

il reste à réaliser graphiquement l'équation de résultante :

$$\overrightarrow{F_{5\rightarrow 6}} + \overrightarrow{F_{W\rightarrow 6}} + \overrightarrow{F_{4\rightarrow 6}} = \overrightarrow{0}$$

